

# H<sub>2</sub> 引燃雾化煤油超燃混合的数值研究\*

岳朋涛<sup>1</sup>, 张梦萍<sup>2</sup>, 徐胜利<sup>1</sup>

(1. 中国科学技术大学 力学和机械工程系, 安徽 合肥 230026; 2. 中国科学技术大学 数学系, 安徽 合肥 230026)

**摘要:** 为研究 H<sub>2</sub> 引燃的煤油超燃混合问题, 采用流体模型描述两相流动, 气相反应系统的全 N-S 方程风迎风 TVD 格式求解, 液相扩散的 Euler 方程用 NND 格式求解, 化学反应源项采用点隐处理, 对单喷嘴喷 H<sub>2</sub> 超声速燃烧、H<sub>2</sub> 引燃的煤油超燃混合问题进行了数值研究。获得了压力、密度、温度和组元浓度场的分布。结果表明: 与单喷嘴喷 H<sub>2</sub> 相比, 下游喷嘴 H<sub>2</sub> 的射流穿透深度和扩散范围增大, 燃烧区也变大; 虽然煤油穿透深度大, 但其扩散较 H<sub>2</sub> 差, 且下游出现无煤油区。

**关键词:** 超声速燃烧; 氢; 高能燃料; 煤油; 化学反应流; 两相流; 数值模拟

中图分类号: V235.11 文献标识码: A 文章编号: 1001-4055 (2001) 06-0500-05

## Numerical investigation on mixing of atomized kerosene in supersonic flow with H<sub>2</sub> pilot flame

YUE Peng-tao<sup>1</sup>, ZHANG Meng-ping<sup>2</sup>, XU Sheng-li<sup>1</sup>

(1. Dept. of Modern Mechanics, Univ. of Science and Technology of China, Hefei 230026, China;

2. Dept. of Mathematics, Univ. of Science and Technology of China, Hefei 230026, China)

**Abstract:** The mixing of atomized kerosene injected into a supersonic flow with hydrogen pilot flame was investigated numerically. Two phase flow Upwind TVD scheme was used to solve the full Navier-Stokes equations for multi-species reactive system. Eulerian equations for liquid phase were solved by NND scheme. A point implicit approach was used to deal with the source term produced by gas phase chemical reactions. The phase interaction ODE equations were solved by second order Runge-Kutta approach. The distributions of pressure, species density, temperature, and nominal density of kerosene were obtained. The results show that hydrogen injected from the injector downstream has a better penetration and enlarges the combustion region. The penetration of kerosene is much higher than that of hydrogen. But kerosene is less spread, and there exists a droplet free region downstream the injector.

**Key words:** Supersonic combustion; Hydrogen; High energy fuel; Kerosene; Reacting flow; Two phase flow; Numerical simulation

## 1 引言

为解决煤油超燃着火延迟期长的问题, 人们研究了(1)喷射敏化剂<sup>[1]</sup>, 如硅甲烷等。(2)采用双燃烧室(dual combustor)<sup>[2]</sup>。(3)采用 H<sub>2</sub> 或高温富油燃气作引导火焰引燃煤油燃烧<sup>[3,4]</sup>。(4)预热煤油, 将催化裂解后的气态碳氢燃料(如 CH<sub>4</sub>, C<sub>2</sub>H<sub>4</sub> 等)喷入燃烧室, 以消除煤油射流的破碎和雾化所需的时间。目前, 尽

管 H<sub>2</sub> 引燃煤油超燃的实验研究已取得较大进展<sup>[5]</sup>, 但是, 相关的理论研究较少且进展缓慢。本文目的是计及 H<sub>2</sub>/空气的化学反应, 首次对雾化煤油在超声速燃烧室中的扩散混合进行数值研究, 并与不考虑 H<sub>2</sub>/空气反应的结果情况相比较<sup>[6]</sup>。作为起步性研究, 本文暂忽略煤油射流柱的破碎、雾化过程, 认为喷嘴处煤油已雾化为给定尺寸分布的液滴群, 以指定的速度喷入燃烧室。其中, H<sub>2</sub>/空气的化学反应采用基元反

\* 收稿日期: 2001-04-18; 修订日期: 2001-06-06。基金项目: 国家自然科学基金(19882005) 和中国科学院创新课题(KJCX2-L01) 资助项目。

作者简介: 岳朋涛(1976—), 男, 博士生。研究领域为超声速燃烧和气相爆炸的实验和数值研究。

应描述, 煤油液滴群的扩散用双流体模型描述。

## 2 控制方程和定解条件

### 2.1 控制方程

液相基本假设为: 不计液相分压和液滴破碎; 忽略气液两相间的质量传输; 不计液滴所占体积且认为液滴为球形, 液滴比热容恒定, 内部温度均匀分布; 忽略液滴间的相互作用。认为煤油在喷口处已雾化, 采用双流体模型描述两相流动, 用有限速率的基元化学反应描述气相燃料的超声速燃烧。在直角坐标系中, 包含  $n_s$  个气相组元的两相混合/气相化学反应流动的控制方程, 在曲线坐标系( $\tau, \xi, \eta, \zeta$ )中, 描述形式为<sup>[6]</sup>

$$\frac{\partial U_g}{\partial \tau} + \frac{\partial F_g}{\partial \xi} + \frac{\partial G_g}{\partial \eta} + \frac{\partial H_g}{\partial \zeta} = \left| \frac{\partial F_{g,v}}{\partial \xi} + \frac{\partial G_{g,v}}{\partial \eta} + \frac{\partial H_{g,v}}{\partial \zeta} \right| + \frac{1}{J}(S + H_g) \quad (1)$$

$$\frac{\partial U_1}{\partial \tau} + \frac{\partial F_1}{\partial \xi} + \frac{\partial G_1}{\partial \eta} + \frac{\partial H_1}{\partial \zeta} = \frac{1}{J}H_1 \quad (2)$$

$S$  为化学反应源项:  $S(S_1, S_2, \dots, S_{n_s}, 0, 0, 0)^T$ 。

### 2.2 热力学参数

认为多组元气相混合物遵守理想气体状态方程, 并满足局部热力学平衡假设, 即

$$p = R_u T \sum_{i=1}^{n_s} \frac{\rho_i}{W_i} \quad (3)$$

单位质量  $i$  组元的静焓为

$$h_i = \int_{T_{ref}}^T c_{pi} dT + h_{fi}^0 \quad (4)$$

$i$  组元单位质量静焓和定压比热容可由多项式拟合给出, 拟合系数可由 JANAF 表查得<sup>[7]</sup>。

### 2.3 化学反应模型

包含  $n_s$  组元的  $NR$  个基元反应可写成

$$\sum_{i=1}^{n_s} v'_{ij} M_i = \sum_{i=1}^{n_s} v''_{ij} M_i \quad (j = 1, \dots, NR) \quad (5)$$

$v'_{ij}, v''_{ij}$  为  $i$  组元在  $j$  反应中反应物和生成物的化学计算比系数。由质量作用定律, 可得  $i$  组元质量生成率:

$$S_i = W_i \sum_{j=1}^{NR} (v''_{ij} - v'_{ij}) (k_{fj} \prod_{l=1}^{n_s} n_l^{v'_{lj}} - k_{bj} \prod_{l=1}^{n_s} n_l^{v''_{lj}}) \quad (i = 1, \dots, n_s) \quad (6)$$

其中,  $S_i$  为单位体积  $i$  组元的质量生成率。 $k_{fj}, k_{bj}$  分别为第  $j$  步反应中正、逆反应的速率常数。 $W_i$  为第  $i$

组元的摩尔质量。本文采用文献[8] 的 11 组元、23 反应模型描述 H<sub>2</sub>/空气的化学反应(燃烧)机理。

### 2.4 相间的相互作用

液滴和气相间的作用项包括阻力和传热, 具体为

$$\mathbf{F} = \rho \cdot \frac{\pi d^2}{8m_1} \cdot (\mathbf{V} - \mathbf{V}_1) + |\mathbf{V} - \mathbf{V}_1| \cdot C_D,$$

$$q_1 = \frac{\mu C_p}{Pr} \frac{\pi d \rho}{m_1} (T - T_1) Nu$$

有关液滴在超声速气流中的实验研究较少, 本文采用文献[8]的  $C_D$  和  $Nu$ , 将滑移雷诺数  $Re_1$  作推广。

$$Re_1 = \frac{\rho_g \sqrt{(u - u_1)^2 + (v - v_1)^2 + (w - w_1)^2 d}}{\mu},$$

$$C_D = 0.48 + 28Re_1^{-0.85}, Nu = 2.0 + 0.6Pr^{\frac{1}{3}}Re_1^{\frac{1}{2}}.$$

### 2.5 定解条件

(1) 初始条件: 初场赋空气来流值。

(2) 边界条件: 入口处给定来流条件,  $Ma_\infty = 4$ ,  $T_\infty = 1300$  K,  $p_\infty = 0.101$  MPa。出口采用外推给出。喷嘴处, 燃料(H<sub>2</sub> 或煤油)自 1#、2# 喷嘴喷出, 喷嘴处给定液相和气相参数。具体地, 对于 H<sub>2</sub>:  $Ma_j = 1.0$ ,  $T_j = 700$  K,  $p_j = 8$  MPa; 对于煤油:  $V_{jet} = 100$  MPa,  $T_j = 700$  K,  $\rho_j = 5$  kg/m<sup>3</sup> (名义密度),  $d = 25$  μm (液滴直径)。沿壁面, 对于气相, 速度取无滑移、温度取绝热条件、组分密度取完全非催化条件, 压力法向梯度取 0; 对于液相, 速度取粘滞条件, 名义密度的法向梯度取 0, 温度取绝热条件。

## 3 数值方法

气相化学反应采用点隐处理, 对流项和扩散项均采用显式格式。对方程(1), 有

$$\left| I - \Delta t \left| \frac{\partial \mathbf{S}}{\partial \mathbf{U}_g} \right|^n \right| (U_g^{n+1} - U_g^n) = \Delta t [J(-CONV^n + VISC^n) + S^n] \quad (7)$$

其中,  $\frac{\partial \mathbf{S}}{\partial \mathbf{U}_g}$  是化学反应源项的 Jacobian 矩阵。

$$CONV^n = \left| \frac{\partial F_g}{\partial \xi} + \frac{\partial G_g}{\partial \eta} + \frac{\partial H_g}{\partial \zeta} \right|^n,$$

$$VISC^n = \left| \frac{\partial F_{g,v}}{\partial \xi} + \frac{\partial G_{g,v}}{\partial \eta} + \frac{\partial H_{g,v}}{\partial \zeta} \right|^n$$

其中:  $CONV$  是对流项, 为较好捕捉超声速气流中的激波, 采用 2 阶迎风 TVD 格式<sup>[9]</sup>,  $VISC$  为扩散项, 采用 2 阶中心差分。

液相方程为退化的双曲方程, 选用二阶 NND 格式, 见文献[6]。

描述相间作用项的常微分方程:  $\frac{dU_g}{dt} = H_g, \frac{dU_l}{dt}$

=  $H_1$  采用 2 阶 Runge-Kutta 法求解。

#### 4 计算结果和讨论

计算域如图 1 所示, 直筒形燃烧室尺寸为 0.07 m

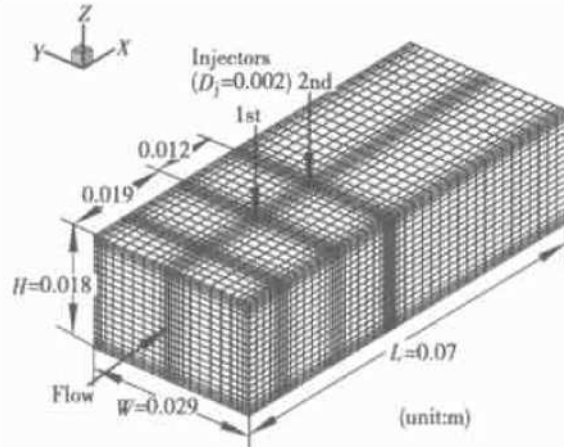


Fig. 1 Grids of computational domain  
( $101 \times 49 \times 41$ )

$\times 0.029 \text{ m} \times 0.018 \text{ m}$  (长  $\times$  宽  $\times$  高), 喷嘴直径为 2 mm。计算网格采用代数方法生成, 分别向壁面和喷嘴处加密。本文程序采用加  $I_2$  空气射流边界的实验结果进行验证, 具体见文献[6]。

##### 4.1 算例一: $\text{H}_2$ 横向喷射超燃的模拟

本算例,  $\text{H}_2$  自喷嘴 1(单喷嘴) 喷入燃烧室, 喷嘴 2 关闭。要说明的是: 下文中无化学反应均指文献 [6] 的计算结果。图 2 给出了不同  $x-z$  截面压力等值线的分布。图 2 表明:  $\text{H}_2$  射流所产生的三维弓形激波并在燃烧室下壁面反射。该激波在  $\text{H}_2$  射流根部较

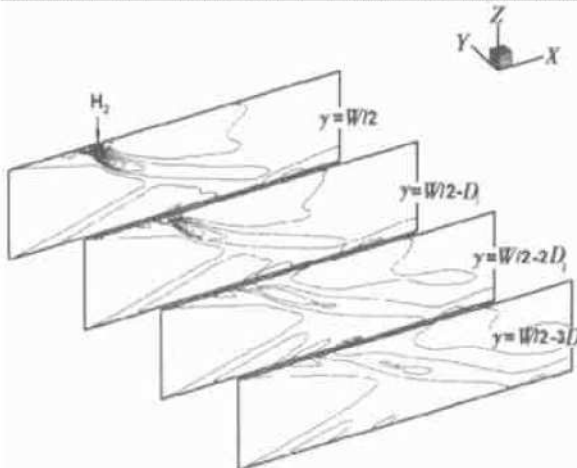


Fig. 2 Pressure contours

强, 当离开喷嘴距离变大, 激波强度下降较快。图给出了不同  $y-z$  截面温度等值线的分布。图 3 表明:

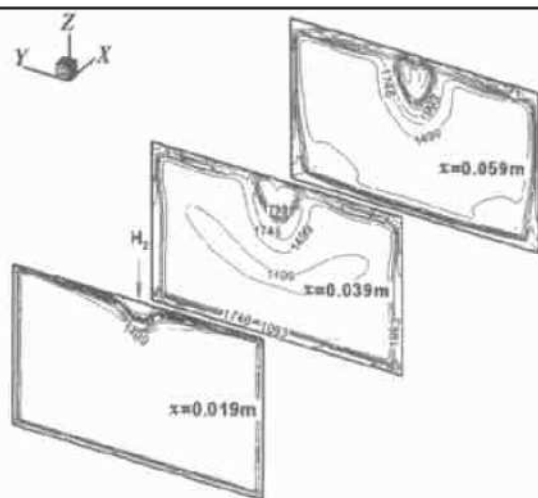


Fig. 3 Temperature contours

$\text{H}_2$  占优的柱状区域中温度较低。由于假定壁面是绝热的, 因此, 边界层内的气流温度较高。与无反应相比, 燃烧造成火焰面附近的温度明显升高。图 4 给出了  $\text{H}_2$  质量分数等值线的分布。与无反应相比, 化学反应对  $\text{H}_2$  质量分数的分布影响不大。考虑化学反应后, 局部区域内  $\text{H}_2$  的质量分数反而稍有上升, 原因是周围反应消耗了  $\text{O}_2$ , 使得  $\text{O}_2$  无法扩散到该区域。出口截面  $\text{H}_2$  的质量分数分布表明: 仍有相当部分的  $\text{H}_2$  未完全反应, 原因是由于来流马赫数较大,  $\text{H}_2/\text{空气}$  混合物的驻留时间短, 造成  $\text{H}_2$  的燃烧效率不高。图 5 给出了  $\text{O}_2$  的质量分数等值线分布, 与无反应相比, 两者结果相差很大。在  $\text{H}_2$  占优的柱状区域内, 几乎没有  $\text{O}_2$ , 这符合扩散火焰的规律, 即氧化剂和燃料主要分布在火焰面的不同侧面。组元  $\text{OH}$  是  $\text{H}_2/\text{O}_2$  反应中的重要中间产物, 它的活性较高, 对燃烧速率影响较大, 可以用来标志火焰面的位置。在超声速燃烧流诊断中, 主要是利用平面激光诱导荧光(PLIF) 测量  $\text{OH}$  浓度场的分布, 从而确定燃烧区。

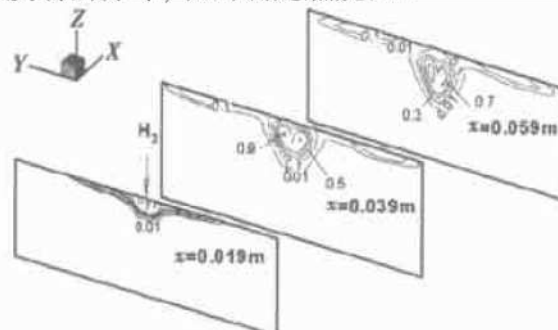


Fig. 4 Mass fraction contours of  $\text{H}_2$

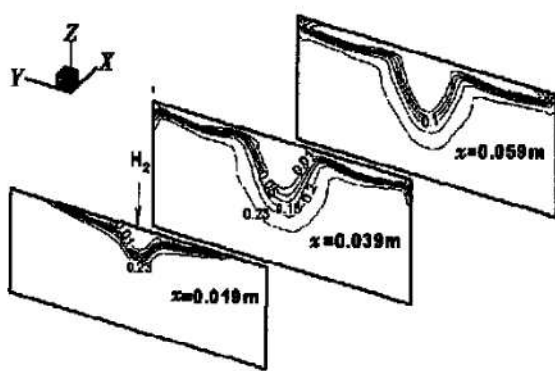
Fig. 5 Mass fraction contours of O<sub>2</sub>

图 6 给出了 OH 的质量分数等值线的分布。图 6 表明: 化学反应主要发生在包围流向涡对的环状区域和上壁面的边界层内。在包围涡对的环状区域中, H<sub>2</sub> 和 O<sub>2</sub> 充分地进行了分子量级的混合, 加上静温 1 300 K 的来流所提供的适宜温度, 导致了化学反应的顺利进行; 在边界层内, 气流较高的温度和较低的速度也有利于 H<sub>2</sub> 和 O<sub>2</sub> 的充分混合和燃烧。因此, 这两个区域内化学反应进行得较为剧烈。组元 H<sub>2</sub>O 是化学反应的最终产物, 其生成量的多少说明了化学反应进展的程度。图 7 给出了 H<sub>2</sub>O 的质量分数等值线的分布。图 7 表明: H<sub>2</sub>O 主要在火焰面附近, 并向

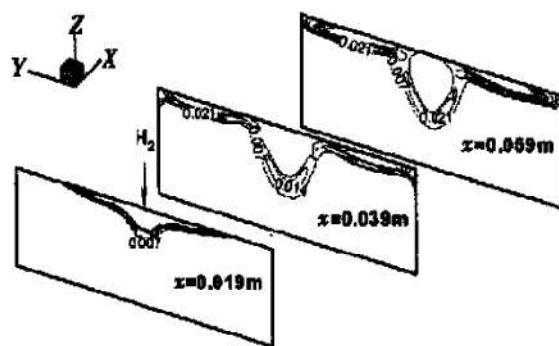
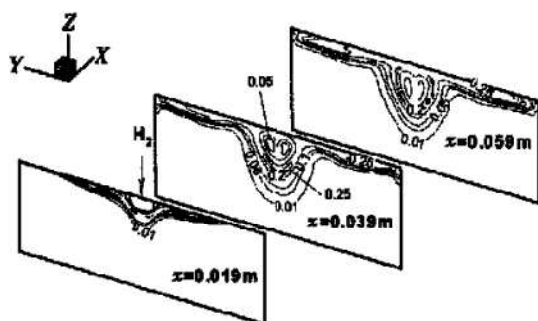


Fig. 6 Mass fraction contours of OH

Fig. 7 Mass fraction contours of H<sub>2</sub>O

两侧扩散。还需指出的是: 本文条件下, 温度的峰值虽然约为 3 000 K, 但只是在很小区域的温度会大于 2 500 K。因此, 化学反应中与 N<sub>2</sub> 相关的组元 N, NO 仅限于很小的区域, 且对应的浓度也很小。

#### 4.2 算例二: H<sub>2</sub> 引燃煤油超声速混合的数值模拟

本算例中, H<sub>2</sub> 分别自喷嘴 1, 2 喷出, 煤油仅从喷嘴 2 喷出。如前所述: 认为 H<sub>2</sub> 和空气发生化学反应(燃烧), 暂忽略煤油的蒸发、燃烧。图 8 给出了压力等值线的分布, 与图 2 的单喷结果相比, 图中 H<sub>2</sub> 射流激波明显变强。图 9 给出了 H<sub>2</sub>O 质量分数等值线的分布, 与图 7 相比, 由于喷入 H<sub>2</sub> 的流量加倍, H<sub>2</sub> 可扩散到更大的范围。因此, 火焰面的范围也变大, 燃烧室中有更多的 H<sub>2</sub>O 生成。

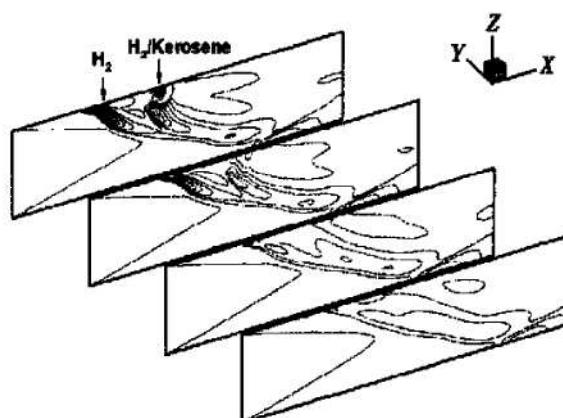


Fig. 8 Pressure contours

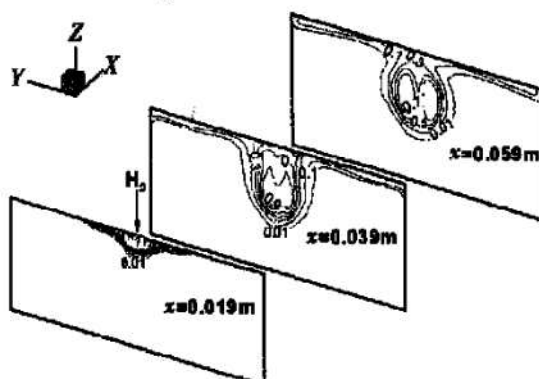
Fig. 9 Mass fraction contours of H<sub>2</sub>O

图 10 给出了煤油的密度等值线分布。由于单个液滴质量远大于单个气体分子的质量(以直径 25 μm 的液滴为例, 质量比量级约为 10<sup>15</sup> ~ 10<sup>16</sup>, 因此, 煤油的惯性也远大于 H<sub>2</sub> 分子的惯性。再加上超声速气流的速度较快, 因此, 与 H<sub>2</sub> 相比, 液相煤油难以在横向形成良好的扩散。与气体分子相比, 由于液滴的质量大, 其惯性也大。即使喷口处液滴的喷射

速度较  $H_2$  低, 其射流仍可以达到满意的穿透深度, 图 10 的结果与物理分析一致。要说明的是: 由于描述液相流动的方程为退化的双曲型方程, 以  $x$  方向为例, 其特征速度均为  $u_1$ , 而气相的特征速度为  $u$ ,

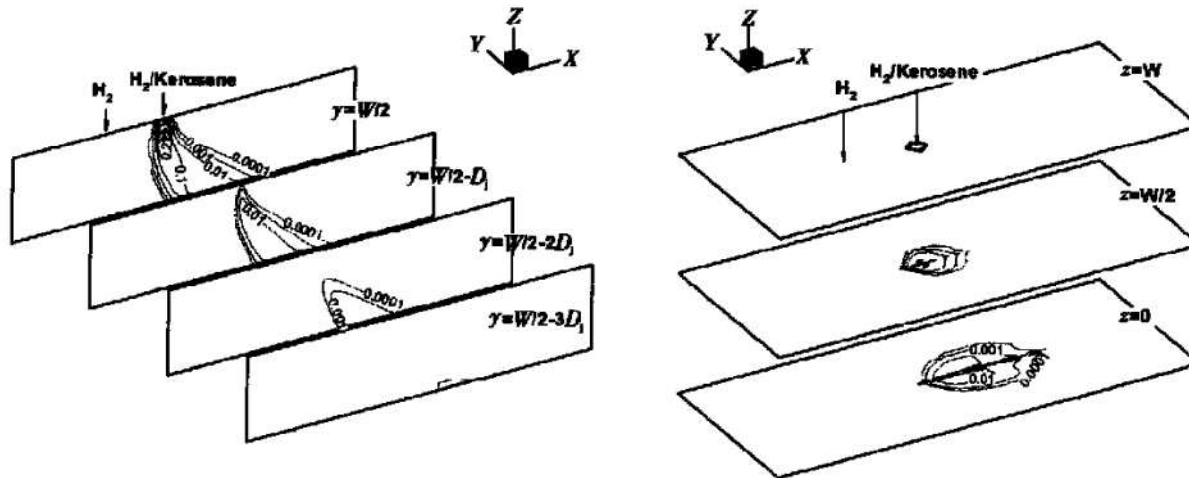


Fig. 10 Contours of kerosene density

## 5 结 论

(1) 对  $H_2$  单喷嘴喷射, 有无化学反应对流场波系影响不大, 但有化学反应时, 火焰面处的温度明显升高, 火焰面附近  $H_2$  和  $O_2$  的分布会变化。

(2) 喷嘴 2 喷  $H_2$  和煤油时, 和单喷嘴喷  $H_2$  相比, 喷嘴 2 的  $H_2$  穿透深度明显增大,  $H_2$  扩散和燃烧区域变大。煤油的穿透深度较  $H_2$  大, 已达下壁面, 但扩散较  $H_2$  差, 其射流柱下游出现无煤油液滴区。

## 参 考 文 献:

- [1] Fletcher E A, Doxsch R, Allen H. Combustion of highly reactive fuel in a supersonic airstream [J]. Investigation, 1960, 30 (4): 337~344.
- [2] Billig F S, Waltrip P J, Stockbridge R D. The integral rocket, dual combustion ramjet: A new propulsion concept [J]. J Spacecraft and Rockets, 1980, 17(5): 416~422.
- [3] Owens M, Segal C. Combustion of kerosene in a supersonic air-stream thermal efficiency of selected injection configurations [R]. AIAA96-3140.
- [4] 孙英英, 司徒明, 王春, 等. 高温富油燃气作引导火焰的煤油超燃料研究 [J]. 推进技术, 2001, 22(2).
- [5] Yu Gang Li Jianguo, Zhang X Y, et al. Investigation on combustion characteristic of kerosene-hydrogen dual fuel in a supersonic combustor [R]. AIAA2000-3620.
- [6] 徐胜利, 岳朋涛, 韩肇元. 具有  $H_2$  引燃的  $CH_4$ 、煤油超声速混合的三维数值研究 [J]. 应用数学和力学, 2001, 22(4): 411~419.
- [7] Gordon S McBride B J. Computer program for calculation of complex chemical equilibrium compositions, rocket performance, incident and reflected shocks and chapmarr jouguet detonations [R]. NASA SP-273, 1971.
- [8] Kee R J, Rupley F M, Miller J A. Chemkin II: a fortran chemical kinetics package for the analysis of gasphase chemical kinetics [R]. SAND 89-8009B.
- [9] Igra O, Ber Dor G. Dusty shock waves [J]. Applied Mechanics Rev, 1988, 41(11): 379~437.

(编辑: 盛汉泉)

$u \pm a$ 。这就是说: 对气相, 扰动波可以沿各个方向传播, 但对于液相, 扰动只能沿液滴运动方向传播。与无反应相比, 化学反应对煤油的穿透深度影响不大。